

УДК 534.222.2

О ФОРМЕ ВОРОНКИ ВЫБРОСА ПРИ ВЗРЫВЕ ШНУРОВОГО  
ЗАРЯДА В ДВУХСЛОЙНОЙ СРЕДЕ

Э. Б. Поляк, Е. Н. Шер

(Новосибирск)

В импульсной постановке рассмотрена задача о взрыве шнурowego заряда в грунте с упрочненным верхним слоем. Получено численное решение и приведены профили воронок выброса для некоторых значений толщины слоя и глубины заложения заряда в двух предельных случаях: когда прочность нижнего грунта пренебрежимо мала по сравнению с прочностью слоя и когда прочности грунта и слоя есть величины достаточно близкие.

В работе В. М. Кузнецова [1] описана следующая постановка задачи о взрыве в грунте. Грунт моделируется средой, являющейся идеальной несжимаемой жидкостью при скоростях, больших некоторого критического значения, и абсолютно твердым телом при скоростях, имеющих меньшее значение. В импульсной постановке граница воронки выброса определяется как линия тока, модуль скорости на которой равен критическому значению.

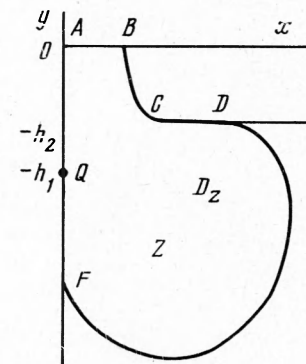
В этой постановке рассмотрим плоскую задачу об определении формы воронки выброса при взрыве шнурового заряда, помещенного на глубину  $h_1$  в грунт, который покрыт сверху слоем более прочного вещества толщиной  $h_2$ , т. е. имеющего большее значение критической скорости. На фиг. 1 показан разрез в плоскости, перпендикулярной заряду. В силу симметрии можно ограничиться рассмотрением области течения, лежащей в правой полуплоскости. Заряд, помещенный в точке  $Q$ , будем считать источником мощностью  $2q$ . Вдоль границы  $FD$  области  $D_z$  модуль скорости равен  $c_2$ , а вдоль границы  $CB = c_1$ .

Введем комплексный потенциал течения  $w = \varphi + i\psi$  и безразмерные переменные

$$z^* = x^* + iy^* = \frac{c_1 z}{q}, \quad w^* = \frac{w}{q}, \quad c_1^* = 1, \quad c_2^* = \frac{c_2}{c_1}$$

и сформулируем задачу в следующем виде (звездочки у безразмерных величин для простоты опустим). Требуется найти границу неизвестной области  $D_z$ , в которой определена аналитическая функция  $w(z)$  с граничными условиями

|         |   |
|---------|---|
| на $AB$ | $\operatorname{Re} w = 0, \quad \arg \frac{dz}{dw} = \frac{\pi}{2}$ |
| на $BC$ | $\operatorname{Im} w = 0, \quad \left  \frac{dz}{dw} \right  = 1$   |
| на $CD$ | $\operatorname{Im} w = 0, \quad \arg \frac{dz}{dw} = \pi$           |



Фиг. 1

$$\begin{array}{ll} \text{на } DF & \operatorname{Im} w = 0, \quad \left| \frac{dz}{dw} \right| = \frac{1}{c_2} \\ \text{на } FQ & \operatorname{Im} w = 0, \quad \arg \frac{dz}{dw} = -\frac{\pi}{2} \\ \text{на } QA & \operatorname{Im} w = 1, \quad \arg \frac{dz}{dw} = \frac{\pi}{2} \end{array}$$

Видно, что в плоскости  $w$  область течения представляется полуполосой ( $\psi = 0, \varphi = 0, \psi = 1$ ), которая с помощью функции

$$\omega = 1 / \operatorname{ch}(\pi w)$$

отображается на верхнюю полуплоскость (фиг. 2).  
Будем искать в этой области функцию

$$\Phi(\omega) = f[w(\omega)] = \ln \left( i \frac{dz}{dw} \right) \quad (1)$$

которая на вещественной оси принимает значения

$$\begin{array}{ll} \text{на } B \infty A & \operatorname{Im} \Phi = 0 \\ \text{на } AQ & \operatorname{Im} \Phi = 0 \\ \text{на } QF & \operatorname{Im} \Phi = -\pi \\ \text{на } FD & \operatorname{Re} \Phi = \ln(c_2^{-1}) \\ \text{на } DC & \operatorname{Im} \Phi = \pi/2 \\ \text{на } CB & \operatorname{Re} \Phi = 0 \end{array} \quad (2)$$

Таким образом, получили задачу Келдыша — Седова [2]. В данной работе рассмотрим решение этой задачи в двух случаях.

Положим  $c_2 = 0$  (это соответствует пренебрежимо малой прочности нижнего грунта относительно слоя). Тогда граница области  $D_z$  (фиг. 1) стягивается в бесконечно удаленную точку, а в области  $D_\omega$  (фиг. 2) точки  $F$  и  $D$  совпадут ( $b = c$ ). Получается задача о прошивании слоя толщины  $h_2$ , которым покрыта жидкость, занимающая нижнее полупространство. В результате решения задачи (1), (2) получим дифференциальное уравнение

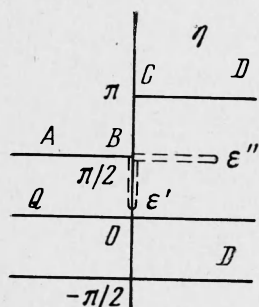
$$\begin{aligned} i \frac{dz}{dw} = & [a^{-1/2} - (\omega - 1)^{1/2}(\omega - a)^{-1/2}] [a^{-1/2} + (\omega - 1)^{1/2}(\omega - a)^{-1/2}]^{-1} \times \\ & \times [(1 - b)^{1/2}(a - b)^{-1/2} + (\omega - 1)^{1/2}(\omega - a)^{-1/2}]^{3/2} \times \\ & \times [(1 - b)^{1/2}(a - b)^{-1/2} - (\omega - 1)^{1/2}(\omega - a)^{-1/2}]^{-3/2} \end{aligned} \quad (3)$$

(постоянная  $\Phi(\infty)$  находится из условия, что в точке  $B$   $\Phi = 0$ ). Видно, что в решение задачи входят два параметра —  $a$  и  $b$ , зависимость которых от величин  $h_1$  и  $h_2$  получится после интегрирования уравнения (3) от точки  $Q$  до  $A$  и от  $C$  до  $B$ .

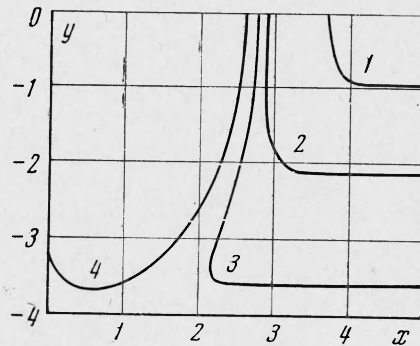
Рассмотрим теперь влияние значений параметров  $a$  и  $b$  на геометрию течения в плоскостях  $\eta = \ln(dz/dw)$  (фиг. 3) и  $z$  (фиг. 4). В плоскости  $\eta$  область течения является четырехугольником  $QBCD$  при  $b = b_* \equiv 5a/(9-4a)$ .

На фиг. 4 этому случаю соответствует кривая 2 ( $h_1 = 3, h_2 = 2.2$ ); горизонтальный участок этой кривой соответствует границе раздела между слоем и жидкостью. Отметим, что на поверхности  $y = 0$  кривизна этой кривой равна нулю. При  $b < b_*$  область течения становится пятиугольником  $QE''BCD$  — кривая 1 ( $h_1 = 3, h_2 = 0.8$ ).

Горизонтальный вырез показывает, что во внутренних точках скорость жидкости достигает величины, меньшей чем критическая скорость на



Фиг. 3

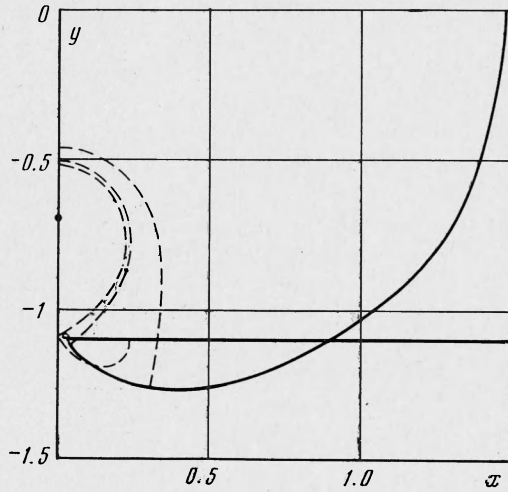


Фиг. 4

границе. Граница воронки при этом становится вогнутой относительно жидкости. Если  $b > b_*$ , имеем пятиугольник  $QBE'CD$  (вертикальный вырез) — кривая  $3(h_1 = 3, h_2 = 3.7)$ . При выходе на поверхность граница воронки становится выпуклой относительно жидкости. При  $b$ , близких к  $a$ , течение жидкости переходит частично на второй лист римановой поверхности (на фиг. 5  $a = 0.2, b = 0.1999, h_1 = 0.68, h_2 = 1.1$ ; пунктиром нанесены эквипотенциали). При  $b = a$  решение показано кривой 4 ( $h_1 = 3$ ).

Рассмотрим случай, когда точки  $D$  и  $C$  совпадают (это означает, что прочности верхнего и нижнего грунтов есть величины одного порядка). В этом случае после решения задачи (1), (2) с условием, что  $\Phi(1) = 0$ , получим

$$i \frac{dz}{dw} = c_2^{-1} \left[ \sqrt{\frac{1}{b}} + \sqrt{\frac{\omega-1}{\omega-b}} \right] \left[ \sqrt{\frac{1}{b}} - \sqrt{\frac{\omega-1}{\omega-b}} \right]^{-1} \times \\ \times \left[ \left( \sqrt{\frac{\omega-1}{\omega-b}} + i \sqrt{\frac{1-a}{a-b}} \right) \left( \sqrt{\frac{\omega-1}{\omega-b}} - i \sqrt{\frac{1-a}{a-b}} \right)^{-1} e^{i \ln z / \pi} \right]$$



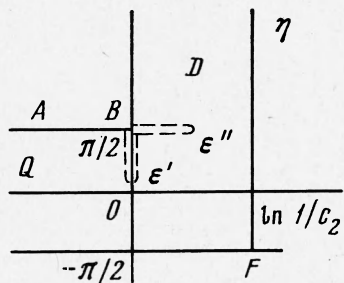
Фиг. 5

На фиг. 6 изображена область течения в плоскости  $\eta = \ln (dz / dw)$ . Область является четырехугольником  $QBDF$  при

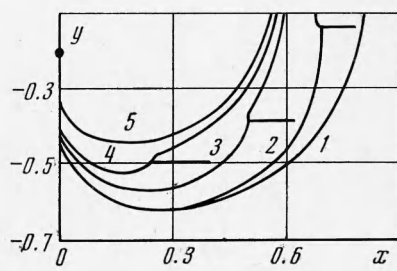
$$a = a_* \equiv b (k^2 + 1) / (bk^2 + 1) \quad (k = -\pi / \ln c_2)$$

При  $a > a_*$  появляется горизонтальный вырез  $QE''BDF$  и при  $a \rightarrow 1$  решение данной задачи стремится к решению задачи с безразмерной критической скоростью, равной  $c_2$ .

На фиг. 7, где показаны профили воронок при  $h_1 = 0.2$ ,  $c_2 = 0.5$  и различных значениях  $h_2$ , этому случаю соответствуют кривые 2 ( $h_2 = 0.13$ ) и 1 ( $h_2 = 0$ ). При  $a < a_*$  появляется вертикальный вырез



Фиг. 6



Фиг. 7

$QBE'DF$  и при  $a \rightarrow b$  получаем решение задачи с критической скоростью, равной  $c_1$  (кривые 3 ( $h_2 = 0.38$ ), 4 ( $h_2 = 0.5$ ) и 5).

Заметим, что в точке  $D$ , где происходит скачок скорости, граница воронки подходит с обеих сторон по логарифмическим спиралям [3].

Поступила 18 XI 1972

#### ЛИТЕРАТУРА

- Кузнецов В. М. О форме воронки выброса при взрыве на поверхности грунта. ПМТФ, 1960, № 3.
- Лаврентьев М. А., Шабат Б. В. Методы теории функций комплексного переменного. М., «Наука», 1965.
- Черноусько Ф. Л. О движении идеальной жидкости с разрывом давления вдоль границы. ПММ, 1962, т. 26, вып. 2.